

京都大学防災研究所 正員 河田惠昭
京都大学防災研究所 正員 土屋義人

1. 緒言 海岸工学における碎波現象の重要性は指摘するまでもない。しかし、現実的に問題となる高波浪時には、強風を伴う場合が多いにもかかわらず、碎波に及ぼす風の影響に関する研究はこれまであまり活発に行われてこない。そこで、強風時の碎波に関する現地観測を行い、不規則波の連なりである現地波浪の碎波に対する、従来発表されてくる個々の波の碎波指標がどの程度あとはまるのか、また、碎波率や波形勾配の統計量が風速とともにどのように変化するかを調べる。

2. 現地観測の概要

現地観測所の観測用棧橋において、1983年3月と11月に、浅海波浪の集中観測の一環として行った。ただし、解析の都合上、ここで示す結果について検討することにする。碎波の観測位置は離岸距離約200m、水深は6.54mであり、その位置を含む岸・沖方向約200mの区間では海底勾配は約1/130程度である。観測は棧橋上と観測所本館屋上に設置したVTRと観測室のトランシットを併用して行った。観測位置には、棧橋に沿って設置した17台の容量式波高計群のCh.3が挿入されている。風速・風向はその位置より沖へ35mの棧橋上に、海面上20mの位置に設置したコーンベンチで計測し、同時に観測所西端の測風塔上の同様の記録をとることとした。図-2(a)および(b)は対象とした観測日時の風速・風向の時系列である。風向はユーションバーの位置に関係なく、(a)ではWSW、(b)ではWNWと一定であった。なお、観測用棧橋がN40°Wの方向に向いていたので、図-1に示すように、前者では72.5°、後者では12.5°いずれも西寄りから吹くことになり、当然、風波の来襲方向も棧橋に平行方向から西寄りになることが観察されたが、正確な卓越方向は求められない。図中の風速は10分間平均である。発達しながら日本海を東進した台風並みの低気圧によって、18日午後には、20m/sec以上の強風が吹いていたことがわかる。

3. 碎波に及ぼす風の影響

1) 風速による波形勾配と碎波率の変化

は碎波率と波形勾配の風速による変化を示したものである。波形勾配はCh.3で取得された波浪記録をゼロアップクロス法で1波ごとに読みこつて10分間の平均値であり、碎波率はCh.3の位置附近で碎波を開始した波数を全波数で割った値である。今回の観測は移動風域場で発達した風波と対象としており、大潟海岸では風波の発達に伴って、一般に波向はNWからNそしてE方向へ変化するところがわかる。これから、風速の増加とともに、波形勾配が徐々に大きくなる様子が認められる。ただし、(b)で示した風速が23~4m/secの波形勾配が極値となり、それ以上では波形勾配は小さくなるようである。碎波による波高の低下が大きな

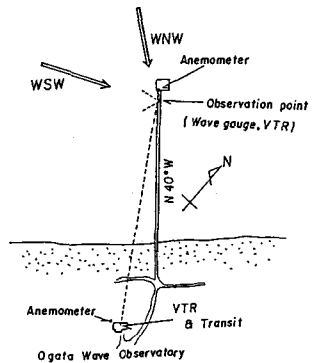
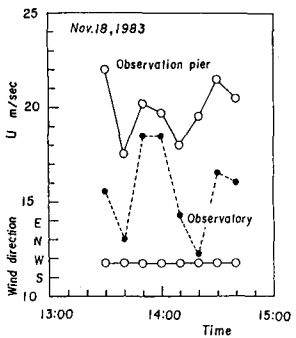
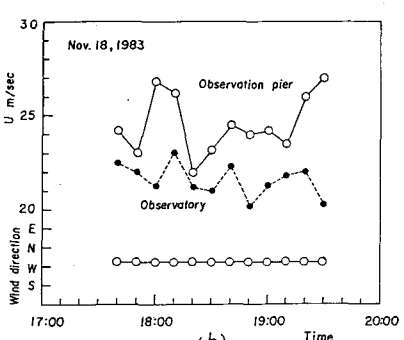


図-1 碎波観測の概要



(a)

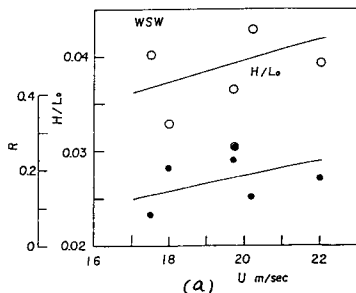


(b)

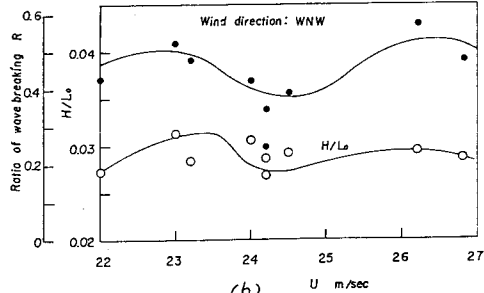
図-2 風速・風向の時間的変化

原因であると指摘でき

よう。さうに風速が大きくなると、いま対象とした地点より沖合碎波した波浪が再生波として発達し、再び波形勾配が大きくなると考えられる。すなはち、風速の増加とともに



(a)



(b)

図-3 波形勾配と碎波率の風速による変化

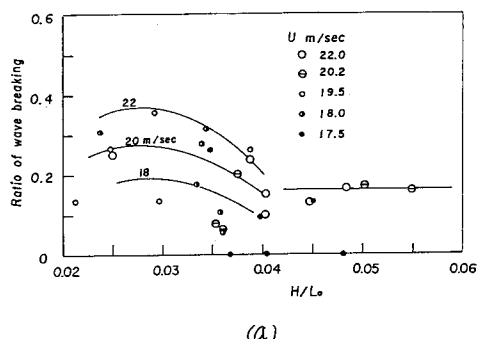
碎波帯が沖入拡大していく過程と対応していふことがわかる。

なお、風向によって波形勾配がかなり相違するが、これはもちろん吹送距離や吹送時間の相違による影響のほかに、WSW 方向からの波は層析の結果、long crest な波浪からかなり波岸の短い波に平面的に変化することも起因すると思われる。

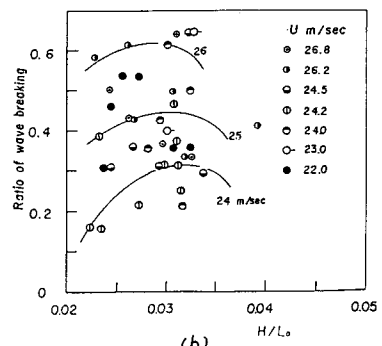
一方、碎波率は、波形勾配の変化に対応し、やはり風速が 23~4 m/sec 付近で乗襲波浪の 50% 程度が Ch. 3 の付近で碎波していふことが示される。風速がそれ以上になれば、観測位置がそれより沖合で一度碎波した波が観測されるので、せかげ上碎波率が減少するかのようになる。したがって、以上のことから、風速の増加に伴う波形勾配と碎波率の変化はよく対応していふことが理解できる。つまに、図-4(a) および (b) は、風速をパラメーターとして、波形勾配と碎波率の関係を示したものである。ただし、図中の各点は、時系列としての波浪記録を約 100 秒ごとに区切り、それらの波形勾配と碎波率を求めたものである。これから、観測値はバラツキがありども、波形勾配が 0.04 程度までは、風速の増加とともに碎波率が大きくなる傾向が見出される。さうに、波形勾配がそれ以上では、風速にあまり関係なく、碎波率は 0.2 程度の一定値になる特性が見出される。

2) 碎波指標に及ぼす風速の影響: 図-5 は、合田が示した碎波指標の関係式に波高をパラメーターとして、今回の観測結果を示した 1 例である。図中の各点は、風速が 26.7 m/sec の場合のものであり、碎波率は 0.457 である。ただし、個々の波の波速は、簡単にために、微小振幅波理論を用いて求めたが、有限振幅波としての取り扱いが望ましいことはいうまでもない。図-5 から、強風時の碎波波高は波高が 1 ラメータとなると予えられることや、合田の結果が現地波浪の碎波波高における上限値を与えていふことがわかる。

4. 結語 碎波に及ぼす風の影響をある程度定量的に明らかにできたと考えていい。ここに紹介した結果は莫大な観測記録の 1 例である、さうに同様の解析をすすめることで、斜め入射波の碎波特性についても、風との関係を検討していきたいと思つていい。



(a)



(b)

図-4 波形勾配と碎波率との関係

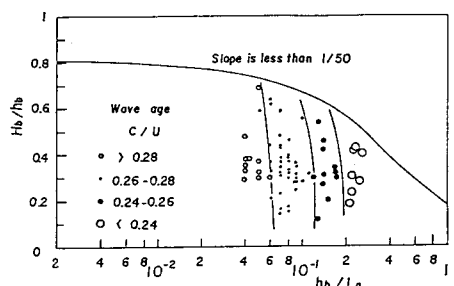


図-5 波高による碎波指標の変化